

グラフ理論に基づく SSH サーバログの統合管理およびリアルタイム可視化システムの提案

大歳 英征^{†2,a)} 中原 崇^{†1} 波多 悠輔^{†2} 前田 達哉^{†2} 小林 孝史^{†2}

概要：SSH は、認証と暗号化の技術を用いて安全に遠隔サーバへのアクセス環境を提供し、UNIX 等の OS で広く用いられている。しかし、その目的がサーバへの直接的なシェル操作であることから、企業の機密情報などを狙う攻撃者からの標的となりやすい。日常的に SSH サーバのログを監視・分析することは、それらの脅威に対処することに有用であるが、監視・分析作業は管理者にとって労力がかかることである。そこで、本稿では、グラフ理論を用いた SSH サーバログの統合管理およびリアルタイムに可視化するシステムを提案する。

キーワード：グラフ理論, SSH サーバ, リアルタイム可視化, 監視, 分析

Proposal of integrated management and real-time visualization system for SSH server logs based on graph theory

OTOSHI HIDEYUKI^{†2,a)} NAKAHARA TAKASHI^{†1} HATA YUSUKE^{†2} MAEDA TATSUYA^{†2}
KOBAYASHI TAKASHI^{†2}

Abstract: SSH provides secure access to remote servers using authentication and encryption techniques and is widely used on UNIX and other operating systems. However, since the purpose of SSH is directly shell operation of servers, it is an easy target for attackers who aim for confidential corporate information. Monitoring and analyzing SSH server logs on a daily basis is useful for dealing with such threats, but those works require much effort from administrators. In this paper, we propose a system for the integrated management and real-time visualization of SSH server logs using graph theory.

Keywords: graph theory, SSH server, real-time visualization, monitoring, analysis

1. はじめに

1.1 現在のセキュリティ事情

コンピュータネットワークの発達に伴い、IoT デバイスやクラウドストレージサービスなど、様々な機器やサービスが提供されている一方で、サーバ管理者や利用者に対するサイバー攻撃が増えている。国立研究開発法人情報通信

研究機構によると、過去 10 年間のサービスに対する攻撃の通信量を表すパケット数は増加傾向にある [1]。当該資料に掲載されている表の一部抜粋を表 1 に示す。

また、同資料によると、攻撃の対象となるポート番号は、23/TCP, 22/TCP, 445/TCP, 80/TCP が順に多いとしている。23/TCP は Telnet サーバで利用され、主に IoT 機器の制御に用いられるポートである。22/TCP は SSH サーバで利用され、IoT 機器やサーバの管理などに用いられるポートである。本研究では特に SSH に対する攻撃に注目する。445/TCP は SMB サーバで利用され、主に WindowsOS におけるファイル共有に用いられるポートである。80/TCP は Web サーバで利用され、IoT 機器の

^{†1} 現在、関西大学大学院総合情報学研究科知識情報学専攻
Presently with Intelligent Informatics Major, Graduate School of Informatics, Kansai University

^{†2} 現在、関西大学総合情報学部
Presently with Faculty of Informatics, Kansai University

^{a)} k142944@kansai-u.ac.jp

Web インターフェースに用いられるポートである。

SSH とは、遠隔にあるコンピュータを操作する機能を提供するプロトコルである。認証と暗号化を用いて、安全に通信を行うことができるため、広く用いられている。

SSH サーバに対する攻撃が多い背景として、SSH サーバの目的がサーバの遠隔操作にあり、攻撃者が一度でも認証を突破し侵入に成功すると、直接サーバを操作することが可能な事がある。また、そのサーバを起点に内部ネットワークの他サーバへ攻撃することも容易になる。SSH サーバへの侵入による攻撃イメージを図 1 に示す。

1.2 ログの可視化

サーバを安全に管理するためには、ログの分析が必要である。ログの分析には、ログの可視化が有効である。しかし、ログの可視化は、主に 2 つの理由で困難となりうる。

1 つ目は可視化システムのバックエンドを実装するコストである。可視化システムには、データベースが必要である。しかし、データベースの構築には、テーブルの作成や、スキーマの型を 1 から作成する必要がある。

2 つ目は可視化システムのための API を実装するコストである。可視化には、データベースからデータを取得するための API を構築する必要がある。しかし、API を構築するには、SQL 文に関する知識や、API に関する知識が必要であり、学習コストが高い。

以上の問題を解決するために、本研究では MongoDB と GraphQL[2] を用いた可視化システムを提案する。MongoDB により、データ型を比較的意識せずにデータを追加することができ、JSON ライクなオブジェクトでデータをやり取りすることが可能となる。また、GraphQL の

Subscription と Query により、データ管理者は API 構築の手間を省くことができる。

1.3 SSH プロトコル

SSH (Secure SHell) とは、暗号や認証技術を用い、遠隔のサーバへの暗号化された安全な通信経路の確立とその経路を用いた通信を提供するプロトコル群である。IETF (Internet Engineering Task Force) によりその基本的な仕様が RFC (Request For Comments) 4250~4254 として策定されている [3]。図 2 に、SSH サーバの流れを示す。

2. 関連研究

本研究以外の可視化システムとして、Atlas[4]、NIRVANA[5] がある。Atlas は NICT[6] が作成したダークネットの可視化システムである。Atlas はダークネットに到達するトラフィックを悪意のあるものとみなし、パケットの送信元と送信先の地理的な位置を IP アドレスから割り出し、世界地図上にプロットするシステムである。Atlas はダークネットに対する攻撃を観測することが目的であるため、サーバ管理者向けのシステムではない。NIRVANA は NICT が作成したネットワーク管理者向けのトラフィック可視化システムである。NIRVANA を使用することで、ネットワーク管理者は設定ミスによる不正トラフィックを検出することができる。

既存の可視化システムとして、Splunk[7] がある。Splunk では、運用サーバにおけるトラフィックを可視化することができる。例えば、Web サーバに対するリクエストや、サーバ機器のリソース消費量を可視化することが可能である。しかし、Splunk で設定する項目には、SQL 文に関する知識が必要な部分もあるため、設定が難しくなると考えられる。

本研究では、SSH サーバに対する攻撃を分析するツールとしての可視化システムを提案する。本システムでは、GraphQL を用いることで設定を基本的に必要とせず、可視化するために必要なデータを取得する際には、簡易化し

表 1 年間総観測パケット数の統計 (過去 10 年間)
Table 1 Packet statistics (past 10 years)

年	観測パケット数
2011	約 46 億
2012	約 79 億
2013	約 129 億
2014	約 257 億
2015	約 545 億
2016	約 1281 億
2017	約 1504 億
2018	約 2121 億
2019	約 3279 億
2021	約 5001 億

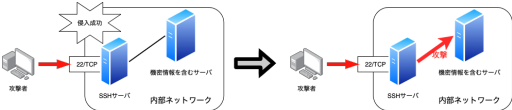


図 1 SSH サーバへの侵入による攻撃イメージ

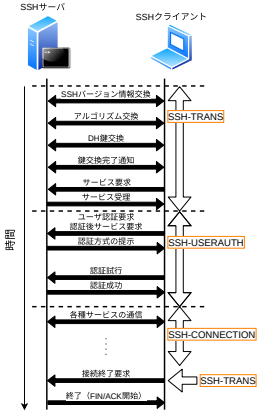


図 2 SSH プロトコルにおける通信の流れ

たクエリを行うことができるシステムを目標とする。

2.1 API サーバのパラダイム

2.1.1 RPC

1960 年代に Remote Procedure Call (RPC) が発明された。RPC は、クライアントからサーバに対して、何らかの動作を要求するメッセージを送信する。サーバは、メッセージを受信すると、クライアントに向けてレスポンスを送信する。

2.1.2 REST

2000 年に Roy Fielding による、論文 [8] で REST が提唱された。REST API では、それぞれのエンドポイントに対して、GET、PUT、POST、DELETE という操作を行うことで、固有のレスポンスを得ることができる。

REST には、欲しい情報に対して、多くの GET リクエストを投げる必要があり、欲しい情報とくらべて、過剰な情報を取得してしまうという課題点がある。また、REST のエンドポイントを管理することにもコストがかかる。

2.1.3 GraphQL

GraphQL はオブジェクトの関係性を表すためにグラフ理論を用いている。グラフ理論により、オブジェクトの包含関係を表すことができるため、データの関係性を含めたクエリが可能となる。GraphQL は基本的に単一のエンドポイントのみで構成されるため、REST と異なり、欲しい情報を適切な量のクエリで取得することが可能となる。リスト 1、2 に本研究で用いる GraphQL サーバ [9] へクエリした例とその結果を示す。リスト 1 を REST でのリクエストに変えた場合を本研究では、データベースの関係を表し、データベースに対するクエリを変わり行うための API として、GraphQL を用いる。

本研究で使用するグラフを図 3 に示す。図 3 を見ると、リスト 1 は 2020 年 12 月 10 日 0 時 0 分から 0 時 01 分までの SSH サーバに対するアクセス情報のクエリである。クエリしている情報にはアクセス元の IP アドレス、IP アドレスを所有している組織が使っているユーザ名リスト、パスワードリスト、組織が所有している IP アドレスリスト、その IP アドレスが使っているユーザリスト、パスワードリストが含まれる。クエリの結果はリスト 2 に示す。

リスト 1 に示したように、GraphQL を用いることで、データベースを直接操作することなく、データの取得を行うことが可能になる。例えば、IP アドレスから組織、組織から IP アドレスリスト、IP アドレスリストから個々の IP アドレスが使うユーザ名とパスワードのリストを導出することが可能である。GraphQL により複雑なデータ構造を図 3 のように一連の流れとして扱うことができる。

GraphQL を使用するメリットは 2 つある。1 つ目は、連鎖的なクエリである。GraphQL によりオブジェクトの関係を、グラフとして表せるため、情報の関係性があるもの

リスト 1 クエリの例

```
1 query {  
2   authLogIp(range: { from: "2020-12-10", to:  
3     "2020-12-10 0:01" }) {  
4     ip  
5     asn {  
6       organization {  
7         userList  
8         passwordList  
9         ipList {  
10          ip  
11          user  
12          password  
13        }  
14      }  
15    }  
16  }
```

リスト 2 クエリの結果

```
1 {  
2   "data": {  
3     "authLogIp": [  
4       {  
5         "ip": "A.B.C.D",  
6         "asn": {  
7           "organization": {  
8             "userList": ["louwg"],  
9             "passwordList": ["louwg"],  
10            "ipList": [  
11              {  
12                "ip": "A.B.C.D",  
13                "user": ["louwg"],  
14                "password": ["louwg"]  
15              }  
16            ]  
17          }  
18        }  
19      }  
20    ]  
21  }  
22 }
```

をクエリすることができる。2 つ目は、GraphQL の API を利用できることである。API を用いることで、ユーザはデータベースの存在を意識せずに、複雑なクエリを行うことができる。

GraphQL には、問い合わせ方法として、Query、Mutation、Subscription の 3 つがある。Query はデータを取得するときに用いる。Mutation は、データを追加するときに用いる。Subscription はデータの変更をリアルタイムで取得するときに用いる。

リスト 3 REST での URL の例

```

1 http://example.com/2020-12-10/2020-12-10%200:01/
  authLogIp/ip/
2 http://example.com/2020-12-10/2020-12-10%200:01/
  organization/userList/
3 http://example.com/2020-12-10/2020-12-10%200:01/
  organization/passwordList/
4 http://example.com/2020-12-10/2020-12-10%200:01/
  ipList/ip/
5 http://example.com/2020-12-10/2020-12-10%200:01/
  ipList/user/
6 http://example.com/2020-12-10/2020-12-10%200:01/
  ipList/password/

```

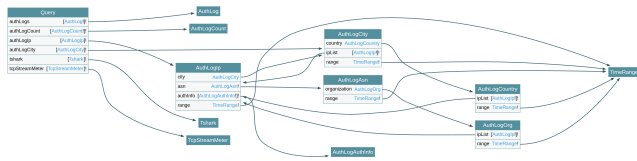


図 3 本研究でのグラフ

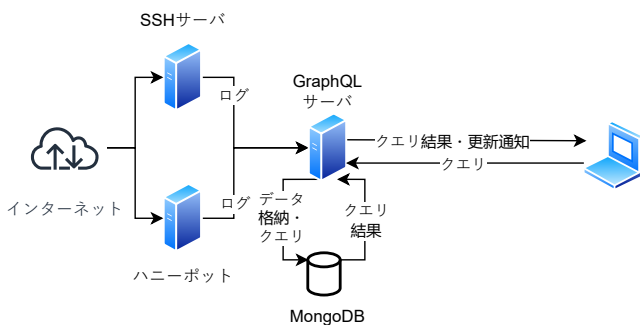


図 4 本研究でのシステム構成
Fig. 4 System Constitution

3. 可視化システムの提案

本研究では、SSH サーバから出力されるログを統合的に収集し、アクセス状況を可視化するシステムを提案する。図 4 に、本システムの構成を示す。本システムでは、SSH サーバにアクセスがあったときに、SSH サーバのログを GraphQL サーバに送信する。GraphQL サーバは受信したデータが、ログ形式に沿っているかどうかを確認して、ログ形式と一致する場合のみ、データベースに書き込む。また、GraphQL サーバは、ログを受信した際に IP アドレスから、国名、都市名、組織名、緯度、経度、国コード、大陸コード、ASN 番号を取得する。取得する際に、geojs[10] に対してリクエストを送信し、その結果をデータベースに格納している。可視化システムを表示している Web ブラウザから GraphQL サーバにアクセスがあった場合は、GraphQL サーバからデータベースにクエリを送信し、データベースから得られたデータをフロントエンドに返す。

3.1 可視化システム

本研究では、可視化システムのフロントエンドに Apex-Charts[11] と、react-simple-maps[12] を用いる。バックエンドには、GraphQL と MongoDB を用いる。表示するグラフは、SSH アクセスがあったときの世界地図 (以下、スパイダーマップと表記)、1 時間ごとのログイン施行回数、1 日ごとのログイン施行回数、1 日の国ごとのログイン施行回数の割合である。

3.1.1 スパイダーマップ

スパイダーマップでは、SSH サーバに対してアクセスがあった場合に、アクセス元の都市名、場所、施行されたユーザ名、パスワードをスパイダーマップ上にプロットする。図 5 に、スパイダーマップの例を示す。スパイダーマップでは、直近のアクセスを赤線で表示している。また、直近 75 件のアクセスの内、重複しているアクセスは、太い線で表すようになっている。

3.1.2 1 時間ごとのログイン施行回数

1 時間ごとのログイン施行回数は、SSH ログイン施行回数を 1 時間ごとに集計して、折れ線グラフに表したものである。横軸は時刻を表し、縦軸は回数を表す。リスト 4 にクエリを示す。図 6 に表示されるグラフを示す。

3.1.3 1 日ごとのログイン施行回数

1 日ごとのログイン施行回数は、現在の日付から、30 日前までのログイン施行回数を集計して、棒グラフで表したものである。横軸は日付を表し、縦軸は回数を表す。リスト 5 にクエリを示す。図 7 に表示されるグラフを示す。

3.1.4 1 日の国ごとのログイン施行回数の割合

1 日の国ごとのログイン施行回数の割合は、現在の日付



図 5 SSH アクセスのスパイダーマップ

リスト 4 1 時間ごとのログイン施行回数を取得するクエリ

```

1 query ($range: InputTimeRange!) {
2   authLogCount (by: HOUR, range: $range) {
3     _id
4     count
5   }
6 }

```

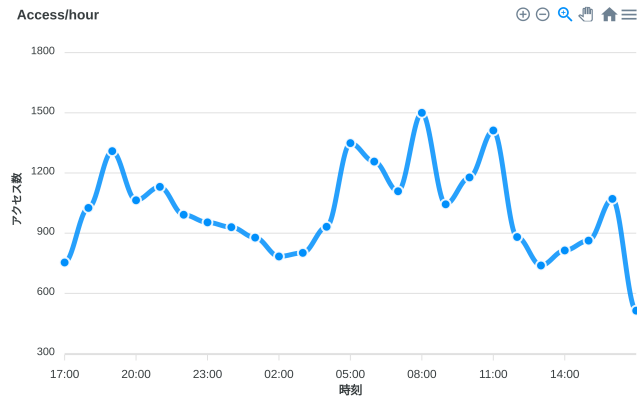


図 6 1時間ごとのログイン施行回数のプロット

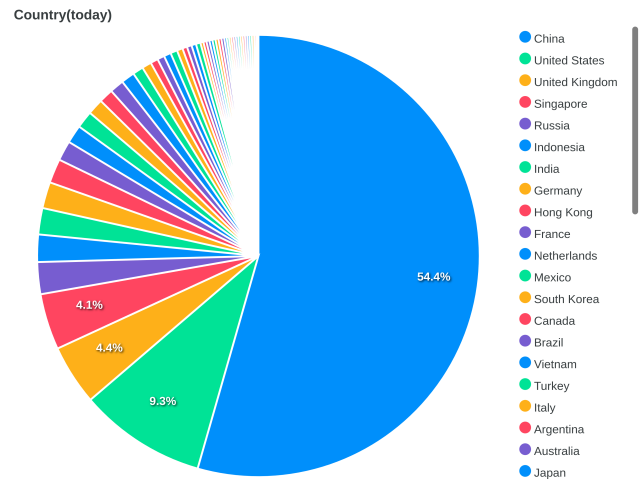


図 8 1日の国ごとのログイン施行回数の割合

リスト 5 1日ごとのログイン施行回数を取得するクエリ

```
1 query ($range: InputTimeRange!) {
2   authLogCount(range: $range) {
3     _id
4     count
5   }
6 }
```

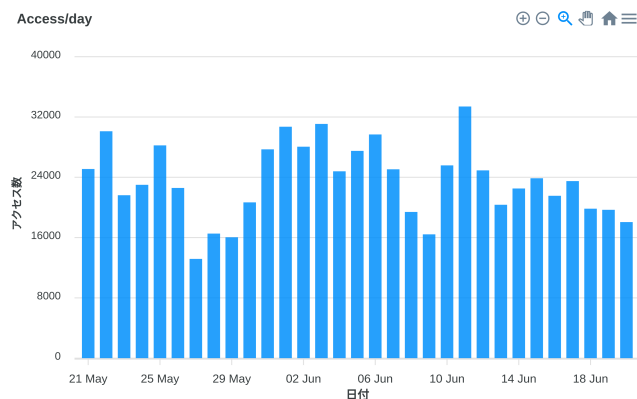


図 7 1日ごとのログイン施行回数の棒グラフ

リスト 6 1日の国ごとのログイン施行回数の割合を取得するクエリ

```
1 query {
2   authLogCount(by: country) {
3     _id
4     count
5   }
6 }
```

における、国ごとのログイン施行回数の割合を円グラフで表したものである。多い順に地域名が列挙され、円グラフ上にマウスカーソルを置くことで、カーソル下の地域名を知ることができる。リスト 6 にクエリを示す。図 8 に表示されるグラフを示す。

3.2 ログの収集

本研究のシステムでは、関西大学小林研究室が運営している 2 つの SSH サーバから出力されるログを収集している。2 つの SSH サーバのうち、1 つはハニーポットとして運用している。図 4 に本研究におけるシステム構成を示す。SSH サーバにアクセスがあると、SSH サーバはログを出力する。出力されたログを Go 言語により作成されたプログラムが読み取り、読み取った内容を GraphQL サーバに送信する。送信されたデータは、GraphQL サーバにおいて、パースされ、ログの内容が、SSH サーバからのものでありかつリスト 7 に沿った形式である場合、MongoDB にデータを格納する。MongoDB に格納する際に、可視化システムのフロントエンドに対して、更新されたデータが送信される。

3.3 ログのパース

SSH サーバから出力されるログは、リスト 7 に示すフォーマットである。SSH サーバのログ形式を変更をする際はログをパースするコードを変更することで、独自のログ形式に対応することが可能である。

ログに含まれている情報は、アクセスの時間、ログを取得した SSH サーバの ip アドレス、SSH サーバのバージョン、SSH サーバのプロセス id、認証の成否、SSH サーバに対するアクセスのアクセス元 ip アドレス、パスワードの入力を求めている時間、パスワードを含むパケットが帰ってくるまでの時間、悪性か正規の判断、SSH プロトコルの通信から計算された RTT、マイクロ秒までを含むアクセスの時間、アルゴリズムの交渉が終わった時間、鍵交換が完了した時間となっている。SSH サーバのバージョンによっては、クライアント側のポート番号や、使用されたユーザ名、パスワードが入っている場合がある。ユーザ名とパスワードに関しては、SSH サーバソフトウェア内で 16 進数化されており、エスケープ文字などにより、データベースへの

不正なアクセスができないようになっている。本研究で使用する SSH サーバは、出力されるログが OpenSSH のログとは異なるソフトウェア [13] を使用している。

3.4 本システムの特徴

本システムの特徴をまとめる。本システムでは、クロスプラットフォーム、統合管理、リアルタイム性の3つの特徴がある。

3.4.1 クロスプラットフォーム

ログを送信するプログラムは、Go 言語で書かれているため、動作環境に依存せずに実行可能である。また、GraphQL サーバは JavaScript で書かれている、Node.js バージョン 16.13.0 以上の環境があれば、実行可能である。このため、本研究で作成したシステムは、ほとんどのプラットフォームで動作可能であり、導入コストが低いといえる。

3.4.2 複数の SSH サーバログを統合管理

本研究のシステムでは、複数の SSH サーバを管理することができる。サーバが増えた場合でも柔軟に対応することが可能である。SSH サーバを増設した際は、ログを送信するプログラムを増設した SSH サーバ上で実行することにより、GraphQL サーバに対してログを送信できる。プログラムを実行する際は、host オプションを指定することで、SSH サーバを区別することができる。

リスト 7 SSH のログ形式

```
1 Sep 30 14:36:51 localhost sshd[4726]: [Auth:Fail,
   User:root,IP:A.B.C.D,Time:0.479649,Detect:Attack
   ,RTT:0.000000,Year:2019,Month:09,Day:30,Hour:05,
   Minute:36,Second:51,MicroSec:055325] KEXINIT
   :0.000000,NEWKEYS:0.000000 [preauth]
2
3 Aug 1 03:37:21 localhost sshd3[19616]: Fail,root,A
   .B.C.D,0.120138,Attack
   ,0.103100,2020,07,31,18,37,21,391265,0.103724
4 ,0.102476 [preauth]
5
6 Sep 1 03:16:56 localhost sshd3[3229]: Fail,6
   e696e61,6e696e61313233,A.B.C.D,0.348250,Attack
   ,0.675394,1598897816,997971,0.107193,1.243594
7
8 Oct 1 11:46:59 localhost sshd3[4469]: [Auth:
   Success,User:root,IP:A.B.C.D,Time:0.129587,
   Detect:Attack,RTT:0.000000,Year:2019,Month:10,
   Day:01,Hour:02,Minute:46,Second:59,MicroSec
   :706609] KEXINIT:0.000000,NEWKEYS:0.000000 [
   preauth]
9
10 Nov 8 20:59:41 localhost sshd4[6409]: Fail,726
   f6f74,7a68656e7275696463,A.B.C.D,44422,0.136092,
   Normal,106.016872,1636372781,075988,109.678610
11 ,102.355134 [preauth]
```

表 2 パフォーマンス評価時の環境

Table 2 Environment of Performance Evaluation

OS	Ubuntu 20.04.3 LTS x86_64
Kernel	5.11.0-38-generic
CPU	AMD Ryzen 9 5950X (32) @ 3.400GHz
Memory	128GB

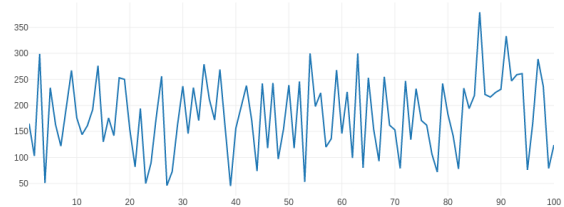


図 9 SSH サーバと GraphQL サーバ間でのパフォーマンス評価
Fig. 9 Graph of Performance Evaluation between SSH Server and GraphQL Server

3.4.3 リアルタイム可視化システム

可視化システムのフロントエンドでは、GraphQL サーバに Subscription と Query を行い、情報を取得して、スパイダーマップやグラフに表示している。Subscription を使用しているため、SSH サーバにアクセスがあった場合は、即座にスパイダーマップ上に更新される。

4. 評価

SSH サーバと可視化システム間での、リアルタイム性を評価するために、パフォーマンス評価を行った。評価を行った項目は、SSH サーバと GraphQL サーバ間、GraphQL サーバと可視化システム間、SSH サーバと可視化システム間、geojs による遅延である。検証環境を表 2 に示す。

4.1 SSH サーバと GraphQL サーバ間

本項目では、SSH サーバと GraphQL サーバ間でのパフォーマンス評価を行った。測定した時間は、SSH サーバにアクセスがあった時間と、GraphQL サーバにある MongoDB にデータが格納終了した時間の差である。表 9 に時間差のグラフを示す。単位はミリ秒である。平均値は、360.0 ミリ秒であった。

4.2 GraphQL サーバと可視化システム間

本項目では、GraphQL サーバと可視化システム間でのパフォーマンス評価を行った。測定した時間は、Web ブラウザから GraphQL サーバにクエリを送信して、データが返ってきた時間の差である。図 10, 11, 12 に 1 日あたりのアクセスのレスポンスタイム、1 時間あたりのアクセスのレスポンスタイム、国あたりのアクセスのレスポンスタイム

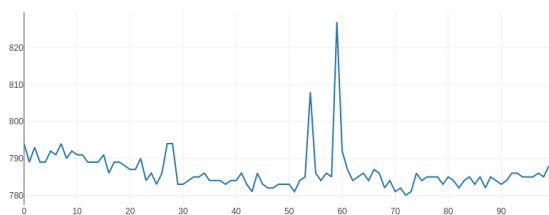


図 10 1日あたりのアクセスのレスポンスタイム
Fig. 10 Query time of Access per Day

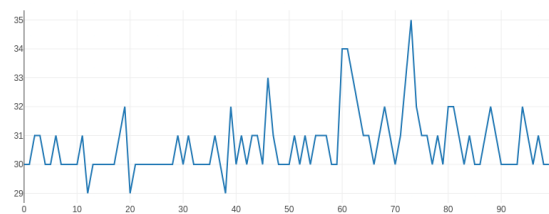


図 11 1時間あたりのアクセスのレスポンスタイム
Fig. 11 Query time of Access per Hour

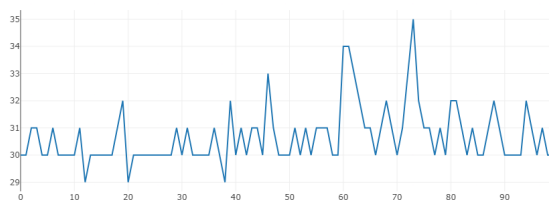


図 12 国あたりのアクセスのレスポンスタイム
Fig. 12 Query time of Access per Country

ムを示す。クエリした回数は100回、単位はミリ秒である。平均値はそれぞれ、786.44 ミリ秒、30.68 ミリ秒、20.42 ミリ秒である。

4.3 SSH サーバと可視化システム間

本項目では、SSH サーバと可視化システム間でのパフォーマンス評価を行った。測定した時間は、SSH サーバにアクセスがあった時間と可視化システムに更新通知があった時間の差である。表 13 に時間差のグラフを示す。単位はミリ秒である。平均値は180.93 ミリ秒であった。

4.4 geojs による遅延

本システムでは、SSH ログがデータベースに格納される前に、geojs へリクエストを送信して、国名等の情報を取得している。geojs へリクエストを送信してから、応答があるまでの時間を図 14 に示す。横軸は回数、縦軸は秒数である。単位はミリ秒である。平均時間は、30.76 ミリ秒

であった。以上の結果から、SSH サーバと GraphQL サーバ間において、geojs へのリクエストが約 30 ミリ秒を占めていることがわかった。geojs へリクエストする代わりに GraphQL サーバ内に IP アドレスと国、都市の対応表を用意しておくことで、時間を短縮できると考えられる。

4.5 評価結果

以上の評価結果から、レスポンスタイム、更新通知時間、データベース格納時間全てにおいて1秒以内に収まっている。このことから、本研究のシステムには、リアルタイム可視化システムとして十分に運用できるものであると考える。

5. 今後の課題

本システムでは、SSH サーバへのアクセスを分析して、リアルタイム性を持った可視化をすることが可能である。しかし、本システムは、SSH アクセスについてのみしか可視化することができない。SSH アクセス以外にも、ICMP や HTTP に対応させることで、より詳しい分析を可能にする必要がある。また、スパイダーマップにおいては、アニメーションを付与することで、どこからのアクセスがあったのかが、分かりやすくなると考えられる。

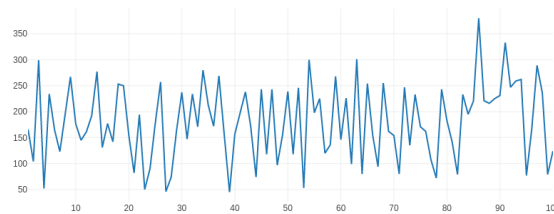


図 13 SSH サーバと可視化システム間でのパフォーマンス評価
Fig. 13 Performance Evaluation of SSH Server and Visualization System

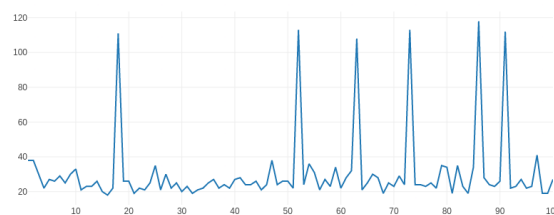


図 14 geojs へのリクエスト時間
Fig. 14 Request time to geojs

参考文献

- [1] Nicter_report_2021.pdf. https://www.nict.go.jp/cyber/report/NICTER_report_2021.pdf. (Accessed on 06/13/2022).
- [2] GraphQL. <https://spec.graphql.org/October2021/>. (Accessed on 01/14/2022).
- [3] Openssh: Specifications. <https://www.openssh.com/specs.html>. (Accessed on 12/03/2020).
- [4] Daisuke Inoue, Masashi Eto, Katsunari Yoshioka, Shunsuke Baba, Kazuya Suzuki, Junji Nakazato, Kazuhiro Ohtaka, and Koji Nakao. nicter: An incident analysis system toward binding network monitoring with malware analysis. In *2008 WOMBAT Workshop on Information Security Threats Data Collection and Sharing*, pp. 58–66, 2008.
- [5] 鈴木宏栄, 衛藤将史, 井上大介. 2-6 実ネットワークトラフィック可視化システム nirvana の開発と評価. 情報通信研究機構研究報告, Vol. 57, No. 3.4, pp. 63–80, 2011.
- [6] Nicterweb - ダークネット観測 — 国立研究開発法人情報通信研究機構サイバーセキュリティ研究室. <https://www.nicter.jp/>. (Accessed on 06/12/2022).
- [7] Splunk — the data platform for the hybrid world. <https://www.splunk.com/>. (Accessed on 06/12/2022).
- [8] Roy Thomas Fielding. Architectural styles and the design of network-based software architectures. https://www.ics.uci.edu/~fielding/pubs/dissertation/fielding_dissertation.pdf. (Accessed on 01/12/2022).
- [9] Swapi graphql api. <https://graphql.org/swapi-graphql>. (Accessed on 01/19/2022).
- [10] Geojs — geojs · rest/json/jsonp geoip api. <https://www.geojs.io/>. (Accessed on 06/13/2022).
- [11] Apexcharts.js - open source javascript charts for your website. <https://apexcharts.com/>. (Accessed on 06/10/2022).
- [12] zcreativelabs/react-simple-maps: Beautiful react svg maps with d3-geo and topojson using a declarative api. <https://github.com/zcreativelabs/react-simple-maps>. (Accessed on 06/14/2022).
- [13] 孝史小林, 柊也高岡, 心悦唐, 洗希嶋田, 綾雅小川. パスワード認証情報を収集する ssh サーバの構築および運用とそれを活用した bruteforce 攻撃の検知手法. Technical Report 16, 関西大学総合情報学部, 関西大学総合情報学部, 関西大学総合情報学部, 関西大学総合情報学部, 関西大学総合情報学部, may 2021.